

大成建設(株)技術研究所 正員 田中 剛
 大成建設(株)土木設計部 真鍋 嘉宏
 大成建設(株)土木設計部 正員 久米 正宏

1. まえがき

P.B.S. (Piles and Blocks)

Structure) 工法は新しい港湾構造物として考案されたもので、あらかじめ打設した直杭に機装置をセットし、その上にアレキアストRCブロックを積み重ね、PC鋼材で綴付けて機装置の機効果及び

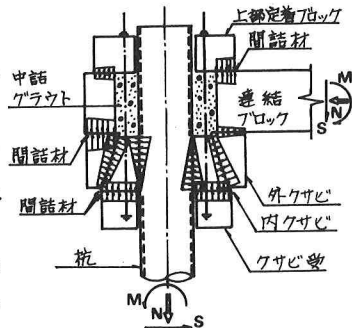


図-1 P.B.S. 応力伝達機構概念図

レストレスによって杭とブロックを一体化してラーメン構造とするものである。上部歪
その応力伝達機構を図-1に示す。本文は、実物大P.B.S試験体及び現地
施工P.B.S構造物の載荷時挙動について実験的考察を行ったものである。

2. 室内実験概要

試験体は、杭体φ457²×9.5^t(STK41) 2本をベース・スラブh=1.2^mに固定し、これに機装置、連結ブロック(断面400²×500⁴)等をセットして、スパンl=3.6^m、高さd=3.4^mの1スパン柱脚固定門形ラーメンとした。(写真-1参照)

なお、各ブロックの接触面に直接プレストレスも与えると局部接触によってクラックが発生するので、間諭材(ほじみ材)としてベニヤ合板(内ケヤビと杭及び外ケヤビ間はh=2.7^m)、その他の部分はh=1.2^m)を介在してPC綴付を行った。

表-1 実験ケース (計11ケース実施)

PC綴付力	約15ton~約90ton 各機装置の各種ケース
ブロック中詰グラウト	(有) or (無) のケース
載荷パターン	新增載荷、新增交番載荷、交番繰返し載荷

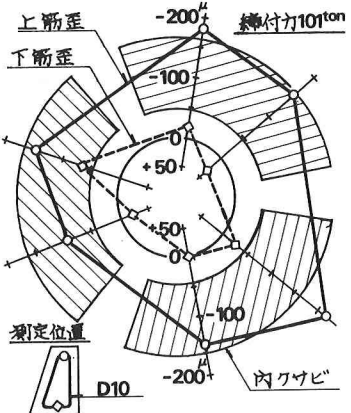


図-2 繰付時内ケヤビ鉄筋歪分布

3. 計内実験結果

(PC綴付時の測定結果)

外機に発生する Hoop tension 合力の測定値と理論値とはほぼ一致しており機効果は有効に作用していることが確認できた。但し断面方向には等分布とならず上部の綴付力が大きい測定値が得られた。これは内ケヤビ鉄筋の歪測定値の分布とも一致している(図-2参照)。すなわち下部に比し上部鉄筋歪が大きい。なおブロックの製作誤差及び据付誤差により綴付時に発生する初期断面力は最大曲げモーメントで0.9^{t.m}程度と微少であった。これは間諭材によって部材の回転成分が吸収されたことによると考え

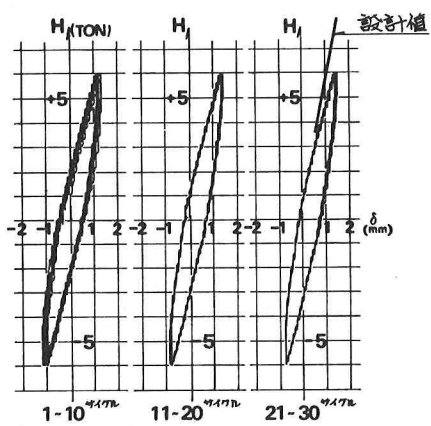


図-3 実験H-6図例(交番繰返し載荷)

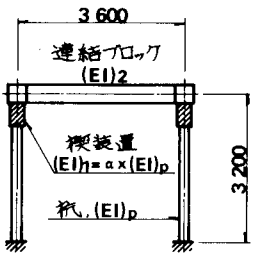


図-4 検討モデル図

られる。

(水平載荷試験結果) 前述実験ケースのうち代表例として有効繰り返し載荷($H = \pm 6^{\text{ton}}$ × 30サイクル)記録を図-3に示す。図の大きい履歴を示すが、サビングがよくなり安定した等

の比較をみると実測値には間詰材による剛性低下がみられる。ここに当初設計値とはブロック接触面をRC連続体とした場合のラーメン計算値である。この剛性低下を定量的に評価するために図-4に示す検討モデルを設定しパラメータ α によって各ケースの比較を行った。(図-5, 6 参照) 図-5, 6より中詰グレート無の場合、締付力増につれての増の傾向を示すが、中詰グレートによつてはさらに増大する。一方変位のひとと曲げモーメントの d_M とを比較すると、 $d_M > d_S$ である。これは機装置部及びブロック接触面部において曲げモーメントの伝達能力が充分に发挥されるまでに回転を生じる必要があり、その時点では変位は先行していることによると考えられる。

4. 珪地P.B.S構造体に対する水平載荷試験結果

現地P.B.S.は設計係留柱 70cm の係留柱として設計したものであり、昭和58年4月現在供用中である。図-7にその構造図を示す。但し本P.B.S.は杭の引抜力がとれないので重量付のため連結ブロックが大型となる。この係留柱に対する水平載荷試験結果($H_{max} = 30\text{cm}$)を図-8に示す。図より実測値は計算値より剛性低下を示しているがラーメン構造としての挙動も示すことを確認した。

5. 結論

以上、実物大室内実験及び現地構造物載荷試験によつて、P.B.S.はラーメン構造として機能するが、ブロック接触面間の間詰材によつて剛性が低下するため上述検討モデルヒの適合度がよいことを確認し、剛性低下に対する定量的的評価を行つた。

今後、間諜材の材料特性等を考慮してP.B.S.の一般的な設計手法の確立を行ふ予定である。

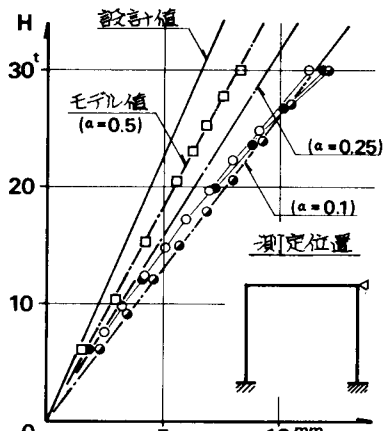


図-5 H~δの比較

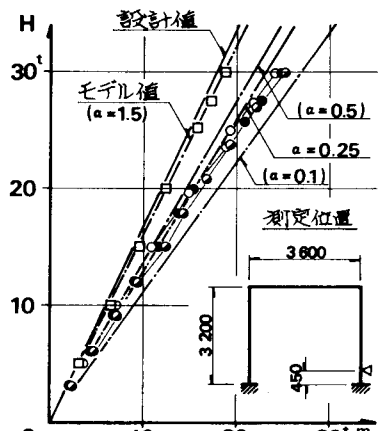


図-6 H~M の比較

凡例	截荷パターン	総応力(%)	中隔柱外側
○	漸増交番載荷	84.0	無
●	：	58.5	：
◐	：	33.0	・
□	：	76.5	有

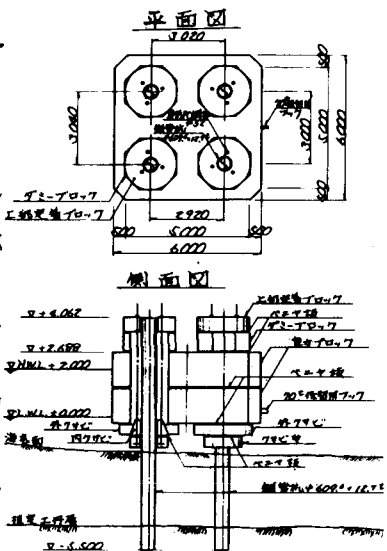


図-7 現地P.B.S.完成図

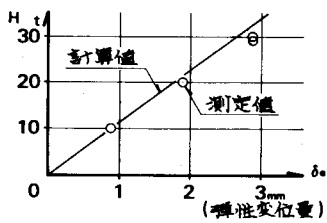


図-8 現地P.B.S. H-δ